doi: 10.7499/j.issn.1008-8830.2017.10.015

论著·病例分析

# 弥漫性肺泡出血 4 例

代佳佳1 陈强2 王立波1

(1. 复旦大学附属儿科医院呼吸科,上海 201102; 2. 江西省儿童医院呼吸科,江西南昌 330006)

## 1 病例介绍

例 1, 女, 2岁, 因面色苍白伴间断性咳嗽 1 年余、加重 6 d 入院。患儿 1 年前出现咳嗽、面 色苍白, 无发热及咯血, 当地医院诊断为"特发 性肺含铁血黄素沉着症、重度贫血",给予输血 及激素治疗(甲泼尼龙琥珀酸钠每日2 mg/kg 静 滴,2周后改为甲泼尼龙片每日1.5 mg/kg 口服, 口服 4 周后渐减量,每周减量 2 mg,以 8 mg/d维 持),病情有好转,但反复发作。入院查体:神 志清楚, T36.2℃, P128 次 /min, R 26 次 /min, BP 90/60 mm Hg。全身皮肤未见皮疹及出血点,库欣 貌, 贫血面容, 双肺呼吸音粗, 未闻及干湿性啰音。 心脏、腹部检查无特殊。双下肢无水肿,无杵状 指趾。神经系统检查无特殊。患儿无药物及食物 过敏史,无传染病及其接触史。患儿出生胎龄 29+5 周,有窒息抢救史。家族中无类似病史。辅助检查: 血常规示 WBC 9.7~20.3×10°/L, Hb 67.2~90.2 g/L, PLT、白细胞分类及网织红细胞计数正常; 大小便 常规正常; CRP、血气分析、凝血功能、肝肾功能、 T细胞斑点试验(T-SPOT)、抗中性粒细胞胞浆 抗体(ANCA)、抗核抗体、抗线粒体抗体、抗肝 肾微粒体抗体、抗双链 DNA (dsDNA) 抗体、抗 组织细胞抗体、Coomb's 试验、免疫球蛋白、淋巴 细胞亚群分析均正常; 肺部 CT 提示双肺透亮度不 均匀降低, 呈毛玻璃样改变, 两肺弥漫分布小颗 粒影和网格影;纤维支气管镜肺泡灌洗液呈不凝 固的血性改变,含铁血黄素试验阳性。

例 2, 女, 8 岁, 因反复面色苍白 7 年伴间断 性咳嗽入院。患儿 7 年前因面色苍白住院, 诊断

为"肺含铁血黄素沉着症、重度贫血",给予输血、 抗感染及激素治疗(氢化可的松每日10 mg/kg静滴, 1周后改为强的松片每日1 mg/kg 口服,口服2周 后减量,以5 mg/d维持2年),病情好转但有反复, 并多次因贫血住院。入院查体:神清, T 36.3℃, P 82 次 /min,R 28 次 /min,BP 100/75 mm Hg。 全 身皮肤无皮疹及出血点, 双肺呼吸音粗、未闻及 干湿啰音,心脏、腹部体查无特殊。双下肢无水 肿, 无杵状指趾。神经系统检查无特殊。既往史、 个人史及家族史无特殊。辅助检查:血常规 Hb 100 g/L, 余项正常; 大小便常规正常; CRP、凝血 功能、ANCA、抗核抗体、抗线粒体抗体、抗肝肾 微粒体抗体、抗 dsDNA 抗体、抗组织细胞抗体、 Coombis试验、免疫球蛋白、淋巴细胞亚群分析及 中性粒细胞呼吸爆发功能均正常; 肺部 CT 示两肺 上叶及下叶多发斑片状、条片状及磨玻璃样高密 度影;纤维支气管镜肺泡灌洗液呈不凝固的血性 改变,含铁血黄素试验阳性。

例 3, 女, 3 岁, 因面色苍白、间断咳嗽 1 年余, 加重伴气促 3 d 住院。患儿 1 年余前出现面色苍白、间断咳嗽,诊断为"肺炎、重度贫血",予抗感染及输血治疗,效果不佳,咳嗽、贫血反复发作,半年前行纤维支气管镜检查,考虑"肺含铁血黄素沉着症",给予激素治疗(甲泼尼龙琥珀酸钠每日 2 mg/kg 静滴,1 周后改为甲泼尼龙片每日 1.5 mg/kg 口服,2 周后逐渐减量,每日4 mg/d 口服维持),1 个月后好转,3 d 前因面色苍白加重、呼吸急促住院。入院查体:神清,T 37℃,P 124 次 /min,R 34 次 /min,BP 102/59 mm Hg。贫血貌,呼吸急促,全身皮肤无皮疹及出血点,双肺

呼吸音粗,未闻及干湿性啰音,心脏、腹部体查无特殊。双下肢无水肿,神经系统查体无特殊。既往史、个人史及家族史无特殊。辅助检查:血常规示 Hb 107.2 g/L,网织红细胞比例 6.0%,余项正常;CRP 12 mg/L;大小便常规、凝血功能、肝肾功能、ANCA、抗核抗体、抗线粒体抗体、抗肝肾微粒体抗体、抗 dsDNA 抗体、抗组织细胞抗体、Coomb's 试验、免疫球蛋白、淋巴细胞亚群分析及中性粒细胞呼吸爆发功能均正常;胸部增强 CT 提示两肺广泛间质改变;纤维支气管镜肺泡灌洗液呈不凝固的血性改变,含铁血黄素试验阳性。

例 4, 女, 3 岁, 因咳嗽 1 周余入院。患儿 1 周余前无明显诱因出现咳嗽,无发热,无喘息, 予以抗感染、止咳等治疗无好转,5d前发现血红 蛋白 88 g/L, 4 d 前血红蛋白降至 61 g/L; 胸部 CT 提示两肺纹理增多, 呈磨玻璃样改变, 另见团片 状密度增高影。入院查体: 神志清楚, T 36℃, P 122 次 /min, R 23 次 /min, BP 94/51 mm Hg。 皮肤黏膜无皮疹及出血点, 双肺呼吸音粗, 未闻 及干湿性啰音,心脏、腹部检查无特殊,肌力及 肌张力正常,神经系统检查无特殊。既往史、个 人史及家族史无特殊。辅助检查:血常规示 WBC 11.7×10<sup>9</sup>/L, N 62.6%, Hb 88 g/L, 余项正常; 大 小便常规、CRP、凝血功能、肝肾功能、ANCA、 T-SPOT、免疫球蛋白、淋巴细胞亚群分析、抗 核抗体、抗线粒体抗体、抗肝肾微粒体抗体、抗 dsDNA 抗体、抗组织细胞抗体均正常; 胃液含铁 血黄素细胞阳性;胸片示两肺渗出改变;纤维支 气管镜肺泡灌洗液呈不凝固的血性改变,含铁血 黄素试验阳性。

### 2 诊断思维

4 例患者均有咳嗽 / 贫血,有的以贫血为首发症状,有的伴气促,肺部影像学检查均有磨玻璃样改变或间质样改变,肺泡灌洗液均呈不凝固的血性改变、含铁血黄素试验阳性,弥漫性肺泡出血(diffuse alveolar hemorrhage, DAH)的诊断是明确的。

儿童 DAH 的病因根据是否存在肺泡毛细血管 炎或心血管疾病分为: (1) 存在肺泡毛细血管炎 者,如 ANCA 相关肾小球肾炎、自身免疫性疾病 相关小血管炎等; (2)心血管疾病,如肺动脉高 压、血管畸形、肺栓塞等; (3) 无肺泡毛细血管 炎及心血管疾病, 如特发性肺含铁血黄素沉着症 (idiopathicpulmonary hemosiderosis, IPH)、血液 系统相关疾病、感染、中毒、免疫缺陷病等[1]。本 研究 4 例患儿均无皮肤、关节症状及体征, 无肾 脏及其他系统受累的线索, ANCA、抗核抗体、抗 dsDNA 抗体、抗线粒体抗体均阴性,无 ANCA 相 关的肾小球肾炎, 也无幼年特发性关节炎、系统 性红斑狼疮、皮肌炎等自身免疫性疾病的依据; 4 例患者均无反复发热、特殊用药及毒物接触史, 血小板及出血、凝血时间正常, 免疫球蛋白、淋 巴细胞亚群分析、中性粒细胞呼吸爆发功能正常, 不考虑感染、中毒、血液系统疾病及免疫缺陷病 等; 4 例患儿无浮肿、肝脾大、心率快等心衰表现, 心脏听诊无杂音,心脏彩超无异常,既往也无先 天性心脏病史,可排除二尖瓣狭窄、肺动脉高压、 肺栓塞等心血管疾病。

患儿无肺泡毛细血管炎以及肺动脉高压、肺栓塞等心血管疾病依据,也无血液系统相关疾病、感染、中毒、免疫缺陷等线索,按照 IPH 予以激素治疗效果不佳,需考虑一些少见疾病如肺动静脉瘘、支气管动脉 – 肺循环瘘、肺毛细血管瘤病等血管畸形所致的 DAH,行选择性支气管动脉造影(selective bronchial arteriography, SBAG)检查明确有无肺血管畸形。

### 

4 例 患 者 均 行 支 气 管 动 脉 造 影 术 (图 1 A~D),提示:1 例为支气管动脉 - 肺动静脉瘘,1 例为支气管动脉 - 肺动脉瘘,1 例为支气管动脉 - 肺动脉瘘,1 例为支气管动脉与肺间动脉共干并伴有部分右支气管动脉与肺静脉沟通,1 例支气管动脉与肋间动脉共干伴肺静脉瘘与轻微肺动脉瘘。

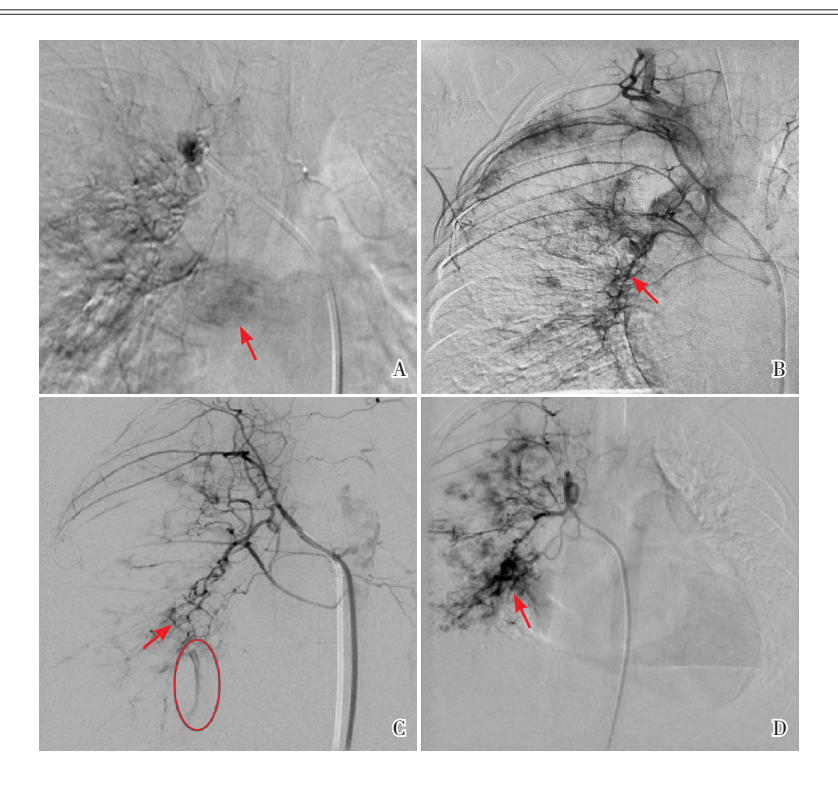


图 1 4 例患者的支气管动脉造影 A: 病例 1 支气管动脉 – 肋间动脉共干,动脉造影可见右肺静脉提前显影, 回流人左心房,提示右支气管动脉 – 肺静脉瘘(箭头所指为回流人左心房的造影剂); B: 病例 2 动脉造影示右支气管动脉 与肺动脉分流(箭头所示),肺静脉提前显影,提示右支气管动脉 – 肺静脉瘘; C: 病例 3 动脉造影示右支气管动脉与肺动脉分流(箭头所指),圈内为右肺动脉远端显影; D: 病例 4 支气管动脉、肋间动脉共干,动脉造影示右支气管动脉与肺动脉分流(箭头所示),部分右支气管动脉与右肺静脉沟通,提示支气管动脉 – 肺静脉痿。

# 4 诊断及确诊依据

患儿确诊为 DAH,病因为支气管动脉 – 肺循环瘘(bronchial artery to pulmonary circulation shunt, BPS)。诊断依据: (1)反复咳嗽、贫血,激素治疗效果不佳; (2)肺部影像学表现为磨玻璃样或间质样改变,肺泡灌洗液呈不凝固的血性改变,免疫学指标无异常,血小板及凝血功能正常; (3)支气管动脉造影提示支气管动脉 – 肺循环瘘。

### 5 临床经过

4 例患者入院后行全麻下选择性支气管动脉造影术,病例 1 见支气管动脉与肋间动脉共干、支气管动脉 – 肺静脉瘘,选用弹簧圈堵闭主干。病例 2 造影示肺静脉瘘和少许肺动脉瘘,支气管动脉略有增粗(内径 1 mm 左右),多次推注500~700 μm 的 Embosphere 微球至可达的支气管动脉主干最远端,再次造影显示右支气管动脉远端栓塞成功。病例 3 造影示右支气管动脉 – 肺动脉瘘,经微导管多次推注 300~500 μm Embosphere 微

球至可达的支气管动脉主干最远端,再次造影显示栓塞完全。病例 4 造影示部分右支气管动脉与肺静脉沟通,右上及右下支气管动脉有侧枝沟通,经微导管多次、少量推注 500~700 µm Esbophere 微球; 左支气管动脉亦分上、下两支,左上支气管动脉增粗扭曲,与远端肺泡有沟通,微导管推注 500~700 µm Esbophere 微球直至远端异常血管栓塞完全。术后 4 例患者随访半年,均未因"咳嗽、贫血"再度入院。1 例患者术后 3 个月复查胸部 CT 提示双肺透亮度不均匀降低,呈毛玻璃样改变,双肺弥漫性分布斑片状、小颗粒状及网格影,胸膜下可见少许纤维条索影及透亮带,同术前大致相仿。

#### 6 讨论

DAH 是一种比较少见的由多种原因导致的肺循环小血管(毛细血管、动脉、静脉)损伤,以肺泡腔内广泛出血为表现<sup>[2]</sup>。其病因复杂,血管畸形是其中一种少见病因,一项 138 例的儿童 DAH 临床研究<sup>[3]</sup> 发现 DAH 以特发性肺含铁血黄素沉着症最多,而肺动脉高压、血管畸形等心血管疾病

所致仅 5 例。本研究 4 例患儿均以咳嗽、贫血为表现,其中 3 例曾被诊断为 IPH,激素治疗无效,通过支气管动脉造影最后诊断 BPS。

BPS 指支气管动脉与肺动脉或肺静脉之间的异常分流,常于成年后发病,儿童病例少见。该病病因不明确,可能是一种罕见的先天性肺部疾病,与早产及基因缺陷有关[4-5];也有文献[6]认为可能与肺部慢性炎症相关,长期慢性炎症刺激导致肺血流量增加,使原本潜在的体 - 肺循环通道重新开放,形成体 - 肺分流。BPS 患者由于支气管动脉与肺血管直接相通,不产生青紫及红细胞增多症,临床表现不典型;部分患者可由于分流导致肺循环压力增高、肺泡内出血,表现为咳嗽、咯血及反复贫血。BPS 的肺部影像学呈现弥漫性改变,难以与IPH鉴别。本文的 4 例患儿均没有青紫、红细胞增多症状,曾被诊断为 IPH,最长达 7 年。

BPS 咯血症状的发生与患者年龄及分流量密切相关,成年期患者常有不同程度咯血甚至危及生命的大咯血<sup>[7]</sup>。本研究 4 例 BPS 患者均无急性咯血表现,可能与患者发病年龄早、分流量小有关。X 线及胸部 CT 平扫是诊断 DAH 的必要条件,均见不同程度的双肺弥漫性磨玻璃样或网格状实变影,亦可见局部浸润,肺出血越多,改变越重。但影像学改变缺乏特异性,也不能明确出血部位。本研究 4 例患儿肺部 CT 均呈毛玻璃样改变或间质改变。64 排 CT 增强扫描及重建技术可获得较精准的支气管动脉影像,显示支气管动脉的起源、形态、

分布及走形<sup>[8]</sup>; CT 血管造影(CTA)对于咯血患者可以敏感地定位出血部位(肺泡或气管),指导介入栓塞治疗,缩短手术时间,减少漏栓现象。但仍有 20%~30% 的患者通过 CTA 无法确定出血部位<sup>[9]</sup>。

值得注意的是,本研究 1 例 BPS 患者在纤维支气管镜检查中发现右中叶开口 1 点钟方位一扩张血管影。周希玲等[10] 也报道 1 例 14 岁咯血患者在支气管镜下发现支气管粘膜下血管粗重、紊乱,后经造影确诊为右肺动脉缺如。因此,对于咯血或不明原因反复咳嗽、贫血患儿,如纤支镜检查发现粘膜下血管,可能需注意是否存在血管畸形。

SBAG 对于 BPS 不仅能明确诊断,还能进行 经导管栓塞治疗[11]。本研究 4 例患者 1 例使用弹 簧圈、3 例使用微球进行了栓塞堵漏,随访半年,均未因咳嗽、贫血再度入院。

## 7 结语

BPS是一种较隐匿的导致肺泡内出血的原因,症状可不典型,而且儿童病例少见,因此对于初诊考虑 IPH 但激素治疗效果不佳者需警惕该病。

SBGA 能发现异常交通支或异常血管,还可根据分流量大小选择栓塞剂进行栓塞治疗,对 BPS 的诊断及治疗具有重要作用。但栓塞治疗只能缓解症状而无法消除原发病,BPS 的病因寻找是进一步研究的方向。

[摘要] 本文报道 4 例以反复咳嗽、贫血为表现的患儿,均为女性,起病年龄均为 4 岁以内, 3 例有气促,均无急性咯血表现;肺泡灌洗液含铁血黄素试验均阳性;影像学呈毛玻璃样 3 例,间质改变 1 例。其中 3 例按照特发性肺含铁血黄素沉着症(IPH)治疗无效。4 例患者行选择性支气管动脉造影术,均提示存在支气管动脉 – 肺循环瘘,确诊为支气管动脉 – 肺循环瘘(BPS),均经导管行栓塞治疗。术后随访半年,均未因咳嗽、贫血再入院。BPS 是一类病因不明的支气管动脉与肺动脉或肺静脉之间异常分流的疾病,儿童少见,对于初诊考虑 IPH 但激素治疗效果不佳的弥漫性肺泡出血患者需警惕该病。

[中国当代儿科杂志, 2017, 19(10): 1109-1113]

[关键词] 弥漫性肺泡出血;支气管动脉-肺循环瘘;选择性支气管动脉造影术;儿童

#### Diffuse alveolar hemorrhage in 4 girls

DAI Jia-Jia, CHEN Qiang, WANG Li-Bo. Children's Hospital of Fudan University, Shanghai 201102, China (Wang L-B, Email: ja666@163.com)

**Abstract:** This article reports 4 girls with clinical manifestations of recurrent cough and anemia. The age of onset was less than 4 years, and three of them had shortness of breath. None of them had acute hemoptysis. All the girls had positive results of hemosiderin test for bronchoalveolar lavage fluid. As for imaging examination, 3 patients had ground-

glass opacity, and 1 had interstitial change. Three girls were given the treatment for idiopathic pulmonary hemosiderosis and had no response. Selective bronchial arteriography was performed for the 4 girls and found bronchial artery to pulmonary circulation shunt (BPS). After they were diagnosed with BPS, they were given transcatheter embolization. The girls were followed up for half a year after surgery, and none of them was readmitted due to "cough and anemia". BPS manifests as abnormal shunt between the bronchial artery and the pulmonary artery/vein and has unknown causes. It is rare in children and should be considered for children who were thought to have idiopathic pulmonary hemosiderosis and had poor response to corticosteroid therapy.

[Chin J Contemp Pediatr, 2017, 19(10): 1109-1113]

**Key words:** Diffuse alveolar hemorrhage; Bronchial artery to pulmonary circulation shunt; Selective bronchial arteriography; Child

#### [参考文献]

- [1] Park JA. Diffuse alveolar hemorrhage and recombinant factor VIIa treatment in pediatric patients[J]. Korean J Pediatr, 2016, 59(3): 105-113.
- [2] Onuk T, Ipek G, Karatas MB, et al. Diffuse alveolar hemorrhage after clopidogrel use[J]. Balkan Med J, 2016, 33(6): 719-720.
- [3] 王维, 张慧, 田小银, 等. 138 例儿童弥漫性肺泡出血临床特点及病因分析[J]. 临床儿科杂志, 2016, 34(9): 670-673.
- [4] Babaker M, Breault S, Beigelman C, et al. Endovascular treatment of pulmonary arteriovenous malformations in hereditary haemorrhagic telangiectasia[J]. Swiss Med Wkly, 2015, 145: w14151.
- [5] 刘晖,姜鹃.儿童先天性支气管动脉-肺动脉瘘的漏诊分析[J].心肺血管病杂志,2014,33(4):483-485.
- [6] 李娴,朱巧洪.体-肺分流在大咯血患者中的发病率及病因探讨[J].放射学实践,2016,7(31):617-620.

- [7] Wolf M, Schmidt U, Bieselt R. Malformation of a bronchial artery with shunt into the pulmonary vascular bed a rare cause of massive haemoptysis[J]. Pneumonologie, 2001, 55(11): 520-526
- [8] Camera L, Campanile F, Imbriaco M, et al. Idiopathic pulmonary fibrosis complicated by acute thromboembolic disease: chest X-ray, HRCT and multi-detector row CT angiographic findings [J]. J Thorac Dis, 2013, 5(1): 82-86.
- [9] Adachi T, Oki M, Saka H. Management considerations for the treatment of idiopathic massive hemoptysis with endobronchial occlusion combined with bronchial artery embolization[J]. Intern Med, 2016, 55(2): 173-177.
- [10] 周希玲, 江载芳. 42 例咯血患儿病因分析 [J]. 中华儿科杂志, 1998, 36(2): 114-115.
- [11] 赵趣鸣,刘芳.介入栓塞技术在儿童咯血中的应用[J].中国循证儿科杂志,2016,11(6):463-468.

(本文编辑: 俞燕)